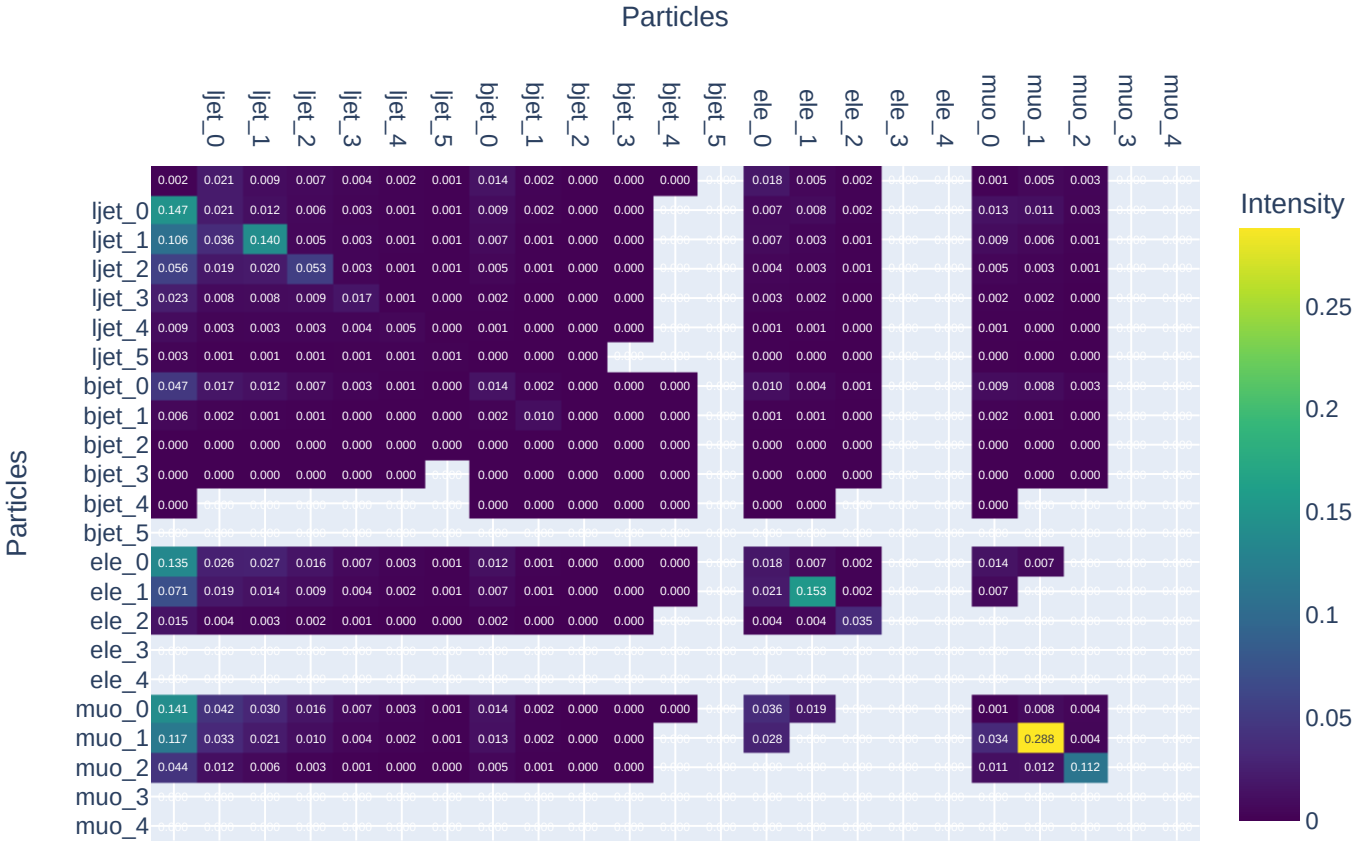
Particles
ljet_0 ljet_1 ljet_2 ljet_3 ljet_4 ljet_5 bjet_0 bjet_1 bjet_2 bjet_3 bjet_4 bjet_5 ele_0 ele_1 ele_2 ele_3 ele_4 muo_0 muo_1 muo_2 muo_3 muo_4
Particles
ljet_0 0.002 0.021 0.009 0.007 0.004 0.002 0.001 0.014 0.002 0.000 0.000 0.000 0.018 0.005 0.002 0.001 0.005 0.003
ljet_1 0.147 0.021 0.012 0.006 0.003 0.001 0.001 0.009 0.002 0.000 0.000 0.007 0.008 0.002 0.013 0.011 0.003
ljet_2 0.106 0.036 0.140 0.005 0.003 0.001 0.001 0.007 0.001 0.000 0.000 0.007 0.003 0.001 0.009 0.006 0.001
ljet_3 0.056 0.019 0.020 0.053 0.003 0.001 0.001 0.005 0.001 0.000 0.000 0.004 0.003 0.001 0.005 0.003 0.001
ljet_4 0.023 0.008 0.008 0.009 0.017 0.001 0.000 0.002 0.000 0.000 0.000 0.003 0.002 0.000 0.002 0.002 0.000
ljet_5 0.009 0.003 0.003 0.003 0.004 0.005 0.000 0.001 0.000 0.000 0.000 0.001 0.001 0.000 0.001 0.000 0.000
bjet_0 0.003 0.001 0.001 0.001 0.001 0.001 0.001 0.000 0.000 0.000 0.000 0.000 0.000 0.000 0.000 0.000 0.000
bjet_1 0.047 0.017 0.012 0.007 0.003 0.001 0.000 0.014 0.002 0.000 0.000 0.000 0.010 0.004 0.001 0.009 0.008 0.003
bjet_2 0.006 0.002 0.001 0.001 0.000 0.000 0.000 0.002 0.010 0.000 0.000 0.000 0.001 0.001 0.000 0.002 0.001 0.000
bjet_3 0.000 0.000 0.000 0.000 0.000 0.000 0.000 0.000 0.000 0.000 0.000 0.000 0.000 0.000 0.000 0.000 0.000 0.000
bjet_4 0.000 0.000 0.000 0.000 0.000 0.000 0.000 0.000 0.000 0.000 0.000 0.000 0.000 0.000 0.000 0.000 0.000 0.000
bjet_5
ele_0 0.135 0.026 0.027 0.016 0.007 0.003 0.001 0.012 0.001 0.000 0.000 0.000 0.018 0.007 0.002 0.014 0.007
ele_1 0.071 0.019 0.014 0.009 0.004 0.002 0.001 0.007 0.001 0.000 0.000 0.000 0.021 0.153 0.002 0.007
ele_2 0.015 0.004 0.003 0.002 0.001 0.000 0.000 0.002 0.000 0.000 0.000 0.004 0.004 0.035
ele_3
ele_4
muo_0 0.141 0.042 0.030 0.016 0.007 0.003 0.001 0.014 0.002 0.000 0.000 0.000 0.036 0.019 0.001 0.008 0.004
muo_1 0.117 0.033 0.021 0.010 0.004 0.002 0.001 0.013 0.002 0.000 0.000 0.028 0.034 0.288 0.004
muo_2 0.044 0.012 0.006 0.003 0.001 0.000 0.000 0.005 0.001 0.000 0.000 0.011 0.012 0.112
muo_3
muo_4
Intensity
0.25
0.2
0.15
0.1
0.05
0